

ISSN1671-0800

CN 33-1268/R

2

2014

现代实用医学

MODERN PRACTICAL MEDICINE
XIANDAI SHIYONG YIXUE

《现代实用医学》编辑委员会

- 中国学术期刊综合评价数据库来源期刊
- 中国核心期刊（遴选）数据库收录期刊
- 中国期刊网、中国期刊全文数据库、中文科技期刊数据库、中文生物医学期刊文献数据库等收录期刊

第26卷 第2期 Vol.26 No.2

ISSN 1671-0800



9 771671 080141

万方数据

现代实用医学

Modern Practical Medicine

月刊 1994年1月创刊 第26卷 第2期 2014年2月20日出版

目 次

主 管
浙江省卫生厅

主 办
宁波市医学会

编 辑
《现代实用医学》编辑委员会
315010,浙江省宁波市迎凤街 25号
电话: (0574)87326759, 87293011
Email:xdyyx@126.com

编委会名誉主任
李兰娟

编委会主任
何一天

总编辑
徐 蕾

出 版
现代实用医学杂志社
315010,浙江省宁波市迎凤街 25号
电话(传真): (0574)87301712, 87293011

广告经营许可证号
3302004010059

印 刷
浙江开源印务有限公司

发 行
现代实用医学杂志社发行部

邮 购
现代实用医学杂志社发行部
315010,浙江省宁波市迎凤街 25号
电话: (0574)87326759

封面刊名
郭沫若墨迹集字

定 价
每期10.00元,全年120.00元

中国标准连续出版物号
ISSN 1671-0800
CN 33-1268/R

2014年版权归宁波市医学会所有

除非特别声明,本刊刊出的所有文章不代表宁波市医学会的观点

本刊如有印装质量问题,请向本刊编辑部调换

专家论坛

- 可视化技术—临床麻醉革命性变化 姚尚龙 王洁(121)
内窥镜手术的灌注液吸收与麻醉管理 李军 蒋婧妍(123)
血管紧张素转化酶与急性肺损伤/急性呼吸窘迫综合征关系的研究进展 陈骏萍 李晓瑜(125)

论 著

- 右美托咪啶对单肺通气时缺氧性肺血管收缩及氧合的影响 胡序凯 郑晋伟 陈骏萍 等(127)
小鼠脂肪源性干细胞的成骨分化研究 方思维 许朝进 刘慧雯 等(130)

临床研究

- 右美托咪啶在气管导管套囊充气法经鼻盲探气管内插管中的应用 董秋菲 郑晋伟 陈骏萍(133)
脑电双频指数在老年患者胸腔镜手术麻醉中的应用察 卢子会 黄洁 黄长顺 等(135)
丙泊酚减少无痛人工流产术中依托咪酯脂肪乳剂致肌震颤的效果观察 胡雅芳 凌美霞(137)
舒芬太尼预防罗库溴铵静脉注射所致肢体退缩反应的半数有效剂量和 95%有效剂量测定 陈芸 卢波 吴国荣 等(138)
舒芬太尼皮下自控镇痛的临床效果观察 毛卫波(140)
利多卡因术中持续静脉输注对七氟烷麻醉后苏醒期躁动的影响 张丽萍 邬晓雷 潘志浩(141)
丙泊酚复合瑞芬太尼麻醉在胃镜和肠镜检查中的应用 俞华芹(142)
腹腔镜手术中顺式阿曲库铵不同输注方法的疗效比较 陈苑 郑洁萍(144)
青年脑卒中患者颅内动脉狭窄病因分析 杨剑宏(145)
高血压脑出血不同治疗方式后患者生存分析 吴晔 金心(147)
高血压脑出血开颅术后脑梗死 45 例临床分析 王建勇 胡勤乐 王海峰(148)
参麦注射液联合肠内营养对腹部手术患者的肠黏膜屏障功能及免疫功能的影响 陈爱萍(150)

- 带药纱布血管床填塞改良大隐静脉内翻剥脱+Muller 术临床应用观察 周瑞耀 张海峰 曹高建 等(152)
痔上黏膜环切术治疗痔病的并发症分析 胡立波 岑嘉云 林玲莉(154)
复方角菜酸酯剂用于痔上黏膜环切钉合术后辅助治疗效果观察 周海萍(156)
带蒂复合组织瓣联合 Ilizarov 技术治疗胫骨慢性骨髓炎
 合并软组织缺损的效果分析 吴凌峰 蔡晓斌 蓝益南 等(157)
股骨近端防旋髓内钉治疗老年股骨转子间骨折 41 例疗效分析 任良 黄林祥(159)
腕关节镜辅助 Wristore 外固定架治疗桡骨远端粉碎性关节内骨折的临床疗效 周黎明 张健 滕晓峰 等(160)
AO 钛制弹性髓内钉与重建钢板治疗儿童锁骨中段骨折疗效比较 刘洪 庄伟 方钦华(162)
切开复位钢板内固定手术治疗肩袖损伤效果观察(附 10 例报告) 黄小钢(163)
经皮椎体成形术治疗骨质疏松性胸腰椎压缩性骨折 24 例分析 周荣立 庞清江(165)
切开复位微型钢板内固定治疗 Mason 分型 II ~ III 型桡骨小头骨折效果观察 游新茂 张智达 任应清(166)
解剖锁定钢板治疗锁骨远端骨折疗效分析 黄力斌(168)
经皮电刺激在周围神经损伤中的临床应用 华飞 陈冬萍(169)
颈动脉内膜剥脱术治疗中重度颈动脉狭窄疗效评价 张剑 王波定 王洪财 等(170)
腹腔镜脾脏部分切除术的临床应用(附 3 例报告) 桑宏阳 李宏(172)
基层医院肝损伤 64 例诊治分析 葛超 邱麦轩 武守国(173)
华蟾素注射液肝动脉灌注配合 XELOX 方案治疗结肠癌肝转移疗效观察 施航 董晶 陆宁 等(175)
胰管结石 12 例诊治分析 虞伟明 彭涛 王高卿 等(176)
肾上腺腺瘤样瘤的临床病理特征观察 黄英杰 俞文英(178)
TAC 和 FAC 新辅助化疗方案在乳腺癌保乳术中的疗效比较 周建炜 杨帆 张浩永(179)
耳穴埋豆在防治肿瘤化疗所致恶心呕吐中的运用 王林娥 杨玉英(181)
慢径消融时出现持续性交界区心律的意义 陈国方 江隆福 冯海明 等(182)
心型脂肪酸结合蛋白对急性心肌梗死患者左室重构及近期心功能的评估价值 刘汪昊 余智 王林正(184)
肝素钠和地塞米松混合液浸泡 PICC 管预防机械性静脉炎的研究 金文英 张燕波(185)
阿托伐他汀治疗老年冠心病合并高脂血症疗效观察 郑定逸(187)
2 型糖尿病合并非酒精性脂肪肝患者危险因素分析 巫小燕 叶程程 张爱鸣(188)
社区门诊胰岛素起始治疗 2 型糖尿病效果观察 沈丰庆(190)
沙格列汀联合二甲双胍治疗 2 型糖尿病疗效观察 陆静尔 庞林荣 龚维坤(191)
持续皮下胰岛素泵治疗对新诊断 2 型糖尿病疗效观察 张群(193)
齐拉西酮治疗首发精神分裂症患者的临床研究 吕斌军 贺恩彪 王岳峰(194)
帕利哌酮缓释片治疗酒精所致精神障碍的临床分析 江长旺 朱春燕 徐婷婷 等(196)
慢性乙型肝炎病毒感染者中血清乙型肝炎病毒表面抗原定量检测的临床价值 陈飞群 颜展(197)
他克莫司在特发性膜性肾病治疗中的疗效观察 虞旭光 陈志斌 邢朝年(199)
大肠腺癌中 HIF-1 α 的表达情况与生存率关系的研究 吴玉海 郑星沪(200)
离心时间长短对血凝实验结果的影响 颜晓林(202)
颅内外动脉粥样硬化及动脉狭窄患者血清 IL-1 β 、SAA 的监测及临床意义 刘秀珍(203)
经阴道彩色多普勒和多普勒能量图对药物流产不全的诊断分析 邬舟艳 张敏(204)
超声弹性成像与常规超声在甲状腺结节中的诊断价值比较 冷应书 杨金权(206)

泮托拉唑联合胃镜喷洒血凝酶治疗消化性溃疡合并出血的疗效观察	杜叶春(208)
辨证治疗慢性萎缩性胃炎的疗效观察	胡跃军(209)
血压管理在社区高血压患者中的防治作用	李海央 马国年 张新益(211)
圆锥角膜患者角膜特性改变对视盘和视网膜神经纤维层的影响	胡安丽 石海军(212)
预留中度近视治疗高度近视合并黄斑退行性病变	
白内障术后低视力效果观察	杨梁燕 袁建树 王育文等(214)
宁波市江北区学龄前儿童视觉发育调查分析	陈晓绒 杨健 夏蓉(215)
甲硝唑联合乳酸菌阴道胶囊治疗细菌性阴道病的临床疗效观察	陈庆荣(217)
常规超声检查在无症状肾癌和小肾癌筛查中的应用	徐素文 龚夏珍 房央梦等(218)
老年阻塞性睡眠呼吸暂停低通气患者临床及多导睡眠监测结果分析	赵海英 姜静波 邵川(220)
非免疫缺陷肺隐球菌病 12 例临床分析	应海平(222)
手用 Protaper 镍钛锉折断部位与治疗牙愈后情况分析	荣彩丽(223)
中西医结合治疗带状疱疹的临床疗效分析	柴贞素(224)
社区卫生服务站医生艾滋病防治知识态度调查	张立辉 戎志东(226)
膝关节半月板缝合术后的康复护理	李娟(227)
全身麻醉下内窥镜双平面腋窝入路隆乳手术护理	魏彤 缪英 黄云萍(228)
五倍子粉穴位贴敷治疗产后褥汗的效果观察	戴淑艳(230)
23 例产科弥散性血管内凝血的临床护理体会	林彩霞 方红(231)
自编配乐康复操对腹腔镜子宫肌瘤术后患者快速康复的效果观察	周亮君 陈霞萍 胡巧巧等(232)
甲状腺功能亢进合并慢性肾功能不全患者的护理	陈亚萍(234)
急性白血病患者使用重组人粒细胞集落刺激因子引起的骨痛护理	林怡(235)
集束化管理策略在导管室医院感染控制中的应用	章一寅(236)

病例报告

体外膜肺氧合联合主动脉内球囊反搏辅助治疗暴发性心肌炎一例报告	陆骏 胡伟航 胡炜等(238)
--------------------------------	-----------------

讲座与综述

利妥昔单抗在惰性淋巴瘤的治疗应用进展	赵冰冰 黄河(239)
--------------------	-------------

本期执行编委： 陈骏萍

执行编辑： 钟美春

期刊基本参数:CN33-1268/R * 1994 * m * A4 * 120 * zh * P * ¥ 10.00 * 6000 * 77 * 2014-2

MODERN PRACTICAL MEDICINE

Monthly Established in January 1994 Volume 26, Number 2 February 20, 2014

Competent Authorities
The Public Health Bureau
of Zhejiang Province

Sponsor
Chinese Medical Association
Ningbo Branch
25 Yingfeng Street, Ningbo 315010

Editing
Editorial Board of Modern Practical
Medicine
25 Yingfeng Street, Ningbo 315010
Tel: (0574)87326759, 87293011
Email: xdeyyx@126.com

Honor Director of Editorial Board
LI Lanjuan

Director of Editorial Board
HE Yitian

Editor-in-chief
XU Wei

Publishing
Publishing House, Journal
of Modern Practical Medicine

CSSN

ISSN 1671-4890
CN 33-1268/R

CONTENTS IN BRIEF

- Effect of dexmedetomidine on hypoxic pulmonary vasoconstriction and oxygenation during one-lung ventilation**
HU Xukai, ZHENG Jinwei, CHEN Junping, et al (127)
- Osteogenic differentiation of adipose-derived stem cells in mice**
FANG Siwei, XU Zhaojin, Liu Huiwen, et al (130)
- Application of dexmedetomidine in the endotracheal tube cuff inflation with blind nasal intubation probe**
DONG Qiufei, ZHENG Jinwei, CHEN Junping (133)
- Observation of bispectral index in thoracic surgery among elderly patients anesthesia**
LU Zihui, HUANG Jie, HUANG Changshun, et al (135)
- Reduction effect of propofol on muscle tremors induced by etomidate fat emulsion during painless abortion operation**
HU Yafang, LING Meixia (137)
- Median effective dose and 95% effective dose determination of sufentanil on preventing limb withdrawal response induced by intravenous injection of rocuronium**
CHEN Yun, LU Bo, WU Guorong, et al (138)
- Clinical effect of sufentanil on patient control subcutaneous analgesia**
MAO Weibo (140)

陈芸,卢波,吴国荣,等.舒芬太尼预防罗库溴铵静脉注射所致肢体退缩反应的半数有效剂量和95%有效剂量测定(见正文第138页)

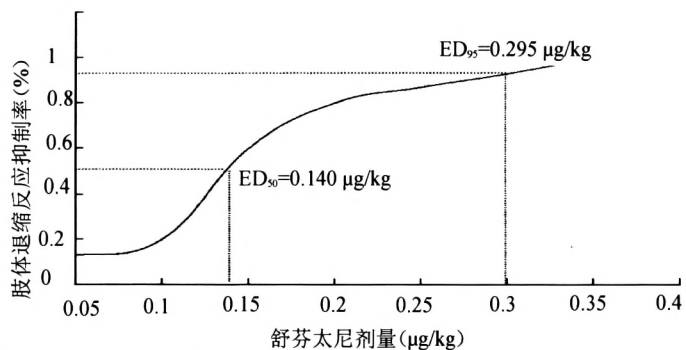


图1 抑制罗库溴铵静脉注射所致肢体退缩反应的概率与舒芬太尼剂量之间的关系

黄英杰,俞文英.肾上腺瘤样瘤的临床病理特征观察(见正文第178页)



图2 大体观察:肿瘤切面灰白,部分灰黄,包膜完整,与周围脂肪组织境界清楚。

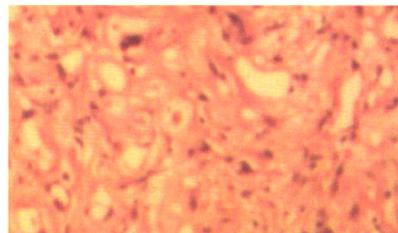


图3 镜检:肿瘤呈腺瘤样及微囊状结构(HE, $\times 10$)。

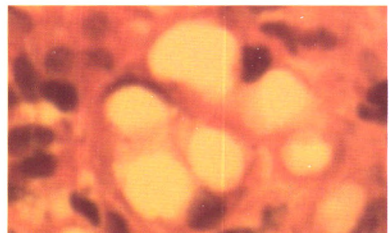


图4 镜检:肿瘤细胞含丰富的胞浆空泡,呈印戒样细胞(HE, $\times 40$)。

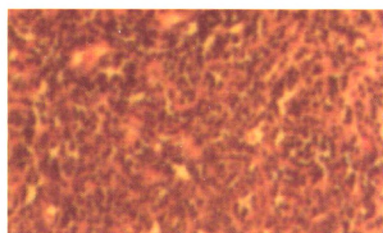


图5 镜检:肿瘤间质可见淋巴细胞浸润性结节(HE, $\times 10$)。

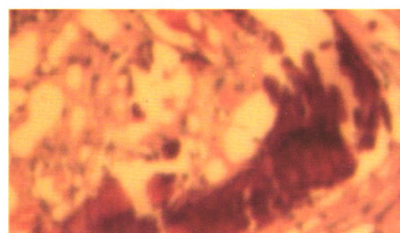


图6 镜检:肿瘤可见营养不良性钙化灶,无肿瘤性坏死(HE, $\times 10$)。

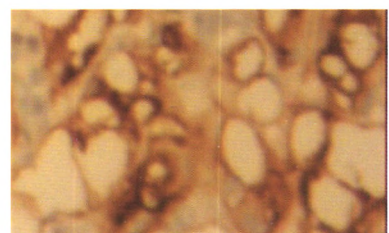


图7 肿瘤细胞D2-40阳性(En-Vision, $\times 40$)。

邬舟艳,张敏.经阴道彩色多普勒和多普勒能量图对药物流产不全的诊断分析(见正文第204页)



图8 宫内残留物的子宫二维声像图



图9 宫内残留物的CDE表现

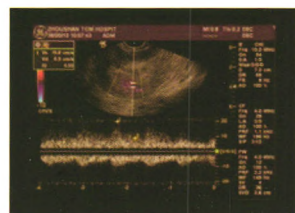


图10 宫内残留物的PW血流频谱形态

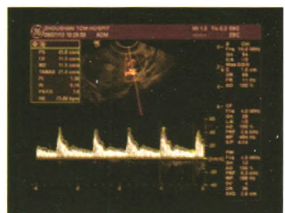


图11 健康非妊娠妇女的PW血流频谱形态

徐素文,龚夏珍,房央梦,等.常规超声检查在无症状肾癌和小肾癌筛查中的应用(见正文第218页)



图12 强回声型,周边低回声晕

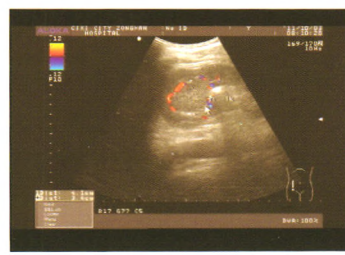


图13 等回声型,周边彩色血流



图14 低回声型并见血流环绕